

## 討8 連続鋳造ビレットのマクロ組織と偏析

八幡製鉄 技研 ○森 久 田中伸昌 佐藤憲夫

八幡 平居正純

偏析評点

A

B

C

D

E

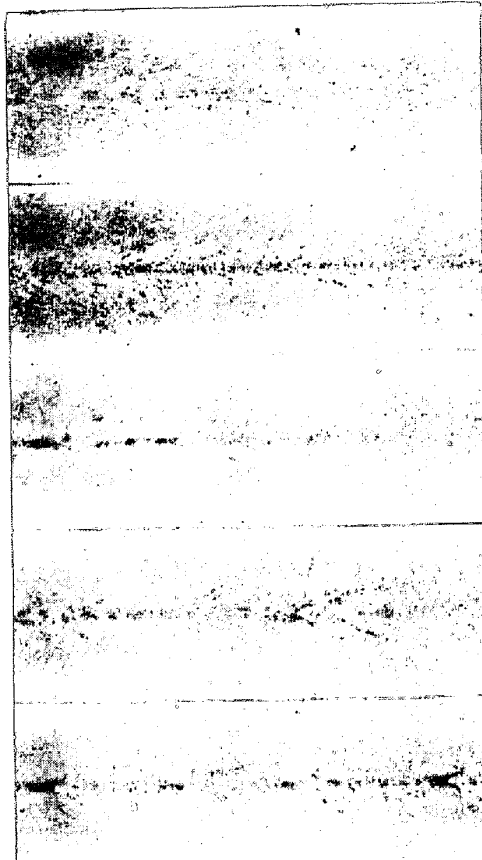


写真1. 80寸鋳片縦断面サルファーブリント

### 1 緒一言

連続鋳造における凝固の問題は極めて多岐にわたる側面を有しており、たとえば、伝熱 - 凝固速度 - 熱応力 - 割れなどの熱工学あるいは材料工学的问题や、精錬 - 溶銅処理 - 鋳込条件 - 鋳片の性状などの冶金学的問題など、追求すべき点が多く、これらの問題の体系化が急がれている。ここでは、OOビレットのマクロ組織と偏析についてとりまとめた。

### 2 試験の範囲

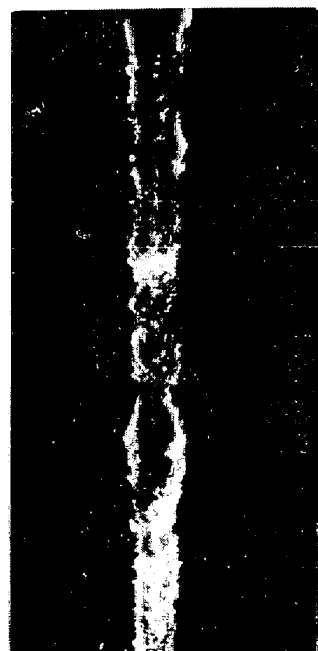
試験鋼種の範囲は、0.10~0.85% C, 0.20~0.35% Si, 0.40~0.85% Mn の普通炭素鋼であり、0.10~0.25% C鋼を低炭素鋼、0.28~0.50% C鋼を中炭素鋼、0.58~0.85% C鋼を高炭素鋼と分類しておく。鋳片サイズ (mm) と引抜速度はそれぞれ、80<sup>Φ</sup> (4 m/min), 160<sup>Φ</sup> (1.5 m), 210×350 (0.75 m), 260×370 (0.55 m), 250<sup>Φ</sup> (0.6 m) であり、光電炉溶製の250<sup>Φ</sup> を除いて、他サイズは東田転炉溶製のものである。

### 3 マクロ組織と偏析

80mm<sup>Φ</sup>ビレット縦断面のサルファーブリントの例を写真1に示す。中心部の濃厚偏析やセンター・ポロシティーの評点を、便宜上 A, B, C, D に分類する。評点 A では、柱状晶が短く等軸晶帯の幅が広く、V偏析帯は幅広く分散しており、軸心部の局所的濃厚偏析は認められず、センター・ポロシティーは幅広く多孔質状になつてている。評点 E では、柱状晶が軸心近くまで発達して、軸心部に局所的濃厚偏析が存在し、軸心の周囲に負偏析を伴う V偏析線が周囲的に残留し、センター・ポロシティーはパイプ状である。

このパイプ状のセンター・ポロシティーの生成機構に関して、凝固速度試験の際の<sup>198</sup>Au-Pb合金沈降下端近傍のオートラジオグラフ(写真2)に興味ある現象が認められる。すなわち、凝固厚さ(残溶鋼の径)は鋳片長さ方向に著しい凹凸が認められ、柱状晶が長く成長している部分の残溶鋼の径が小さく、この部分が他の部分に比べてより早く凝固が完了することを示している。したがつて、高温注入のため柱状晶がビレット中心軸近傍まで長く成長しているビレットでは、柱状晶が最も長く成長する部分に等軸晶がひつかかつてブリッジングがおこる。このようなブリッジングにより、それ以後の上方からの押湯が効かなくなり、ブリッジより下方の残溶鋼の凝固収縮に伴いパイプが残留したものと考えられる。

このようなマクロ組織や偏析を左右する最大の要因は、鋳込溶鋼のスーパーヒート△T(タンディッシュ内溶鋼温度 - 鋼の液相線温度)であり、1例として中心偏析評点に及ぼす△Tの影響を図1に示す。△Tが大なるほど偏析評点が悪化

写真2. <sup>198</sup>Au-Pb沈降下端近傍のオートラジオグラフ(113寸鋳片縦断面)

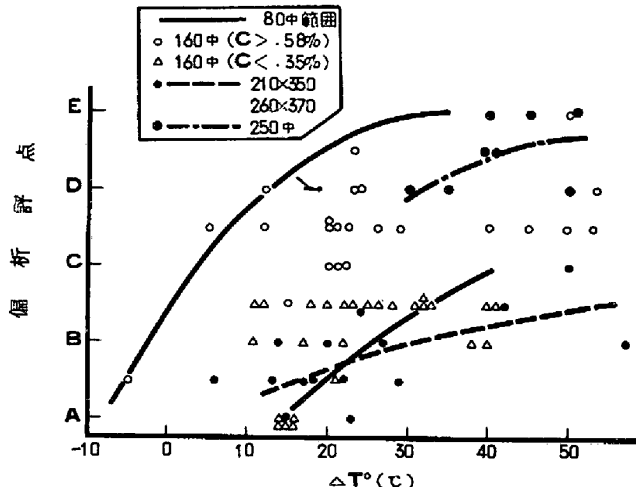
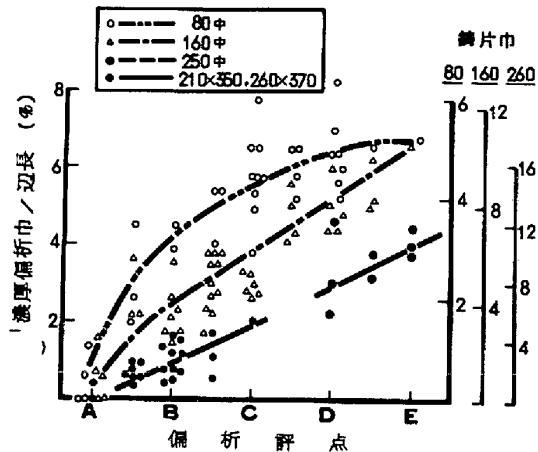
図1. 鋳込み $\Delta T$ と偏析評点との関係

図2. 濃厚偏析幅と偏析評点との関係

するが、ビレット断面が角型である場合 80~250 mm<sup>2</sup>の範囲について同様な傾向が認められる。しかし、210×350 mmなどの扁平大断面ブルームの偏析評点は 250φ 鋳片に比べて著しく良好であり、 $\Delta T$  が 50°C でも偏析評点は 0 にすぎない。高温注入した扁平大断面ブルームのサルファープリントを写真3に示す。横断面中央部には梢円状の負偏析部と、その内部に梢円状の正偏析部がみられる。鋳片横断面が正方形である場合は、最終凝固位置である中心軸上に濃厚偏析が集中するが、矩形断面では、最終凝固位置が面（モデル的）となるため、中心偏析が分散すると考えられる。

サルファープリントで明瞭な輪郭を示す濃厚偏析部の幅は、図2に示す如く、偏析評点が悪くなるほど広くなる。角型鋳片については、同一偏析評点では、鋳片サイズが大きいほど広くなり、80φ では max 6 mm, 160φ では max 13.5 mm, 250φ では max 12 mm となっている。一方、扁平大断面ブルームでは、評点が最悪の 0 の場合でも 5.5 mm にすぎない。したがつて、濃厚偏析幅の辺長に対する割合は小断面サイズほど大きくなつてあり、80φ では max 8% に達するのに対し、250φ では max 5%, 扁平大断面ブルームでは max 2% 程度である。

マクロ性状特性値に及ぼすその他の要因として、濃厚偏析幅及び中心偏析評点は、鋼の C % が高いほど不良となる傾向が認められる。低炭素鋼では、センターポロシティーが比較的長く連続しており、高温注入においても V 偏析線はほとんどみられないが、高温注入の高炭素鋼では V 偏析線が週期的に残留し、その直下により太くて短いセンターポロシティーが残留している。

また、片側タンディッシュ 3 ストラ

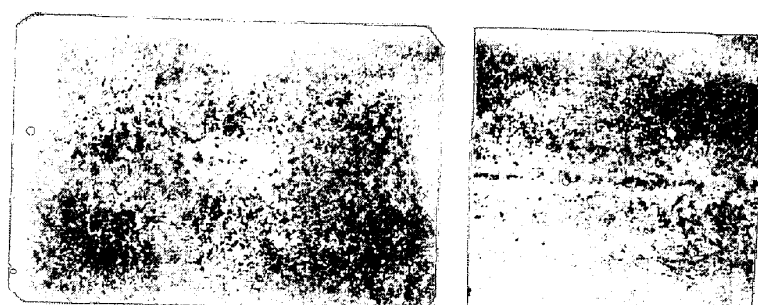
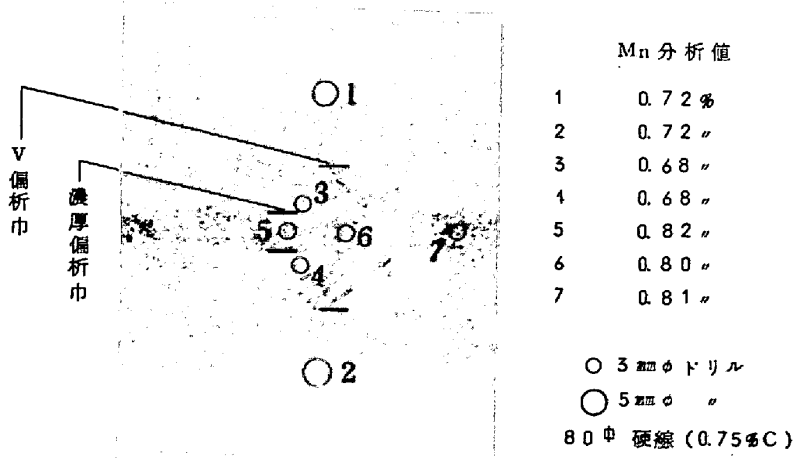
写真3. 高温注入した 260×370 鋳片のサルファープリント ( $\Delta T = 50^\circ\text{C}$ , 高炭鋼)

写真4. セミミクロ偏析サンプリング要領

ンドのうち、なんらかの原因で1~2ストランドの鉄込が中止された場合は、鉄込中止ストランド数が多いほどマクロ性状は良好となることが重回帰分析で認められた。これは、鉄込中止により、タンディッシュ内溶鋼の滞留時間が延長するためであろう。

また、引抜速度がおそいほど、冷却水量が少ないほど、マクロ性状は理論的には向上するものと推測されるが、本試験条件の範囲では、これらの効果は明らかでない。

なお、柱状晶長さ - センターポロシティ - 評点 - 濃厚V偏析巾 - 中心偏析評点などの特性値間には正の相関があり、これらとV偏析巾との間には負の相関がある。

#### 4 濃厚偏析部におけるMn, Cの偏析度

高炭素鋼の濃厚偏析部のセミミクロ的な偏析度を調査するため、鉄片縦断面より直径3mmのドリルで深さ3mmの試料を、写真4のサルファープリントに示した如く、濃厚偏析部及びその周囲の負偏析部より採取し、Mn, Cの分析を行つた。吸光度法によるMn分析には0.1gの試料が必要であり、電気伝導度法によるC分析には0.5gの試料が必要であるため、Mn分析に主體をおき、Cについては160#、250#の著しい濃厚偏析が認められたものについてのみ、上記の要領で4~5点から採取した試料を合わせて分析した。

各サイズの鉄片のMnとCの偏析度を図3に示す。バラツキは大きいが、偏析評点が悪いほど偏析度は大きくなる傾向がみられ、偏析度は同一評点では $160\# > 250\# > 260 \times 370$  or  $260 \times 370 > 80\#$ の順となつており、最も高い偏析度を示した160#では、Mnでmax 1.3, Cでmax 1.8の正偏析度がみられた。ここで、250#鉄片より160#鉄片のほうが偏析度が高いという予想外の結果が得られたが、これは試料数が少なかつたためであろう。扁平大断面ブルーム及び80#ビレットでは、前者は濃厚偏析部が分散しているため、後者は濃厚偏析部のサイズが小さいため、サンプリングの位置が不適当であつたことも影響しているものと思われるが、Mnの偏析度はmax 1.12程度であり、特に扁平大断面ブルームの最も悪いものでも80#のD程度とセミミクロ偏析の点ではかなり有利である。

直径の大きなドリル試料の分析から判定すると、内外の文献にみられるように角型CC鉄片の中心偏析はキルド鉄塊に比べて小さいが、以上のように軸心部の局所的な濃厚偏析はかなり著しく、この濃厚偏析は鉄片断面の扁平化により軽減されることが明らかとなつた。このような局所的な濃厚偏析の残留は、鉄片の厚さが薄く横方向凝固であるというCC法の本質に由来するものと云えよう。

連鉄ビレットの軸心濃厚偏析について、加熱炉中のC拡散の面から検討してみよう。シリンダーモデルによると、半径aのシリンダー内の溶質濃度 $C_0$ 、加熱後シリンダーの中心からrの点の濃度C、拡散定数D、加熱時間tとすると、 $C/C_0$ と $r/a$ との関係は、

$\sqrt{Dt}/a = 0, 1/4, 1/2, 1$ の場合図4の如くなる。鉄中Cの拡散係数としてNebel等の値を採用した場合、拡散時間と $\sqrt{Dt}$ との

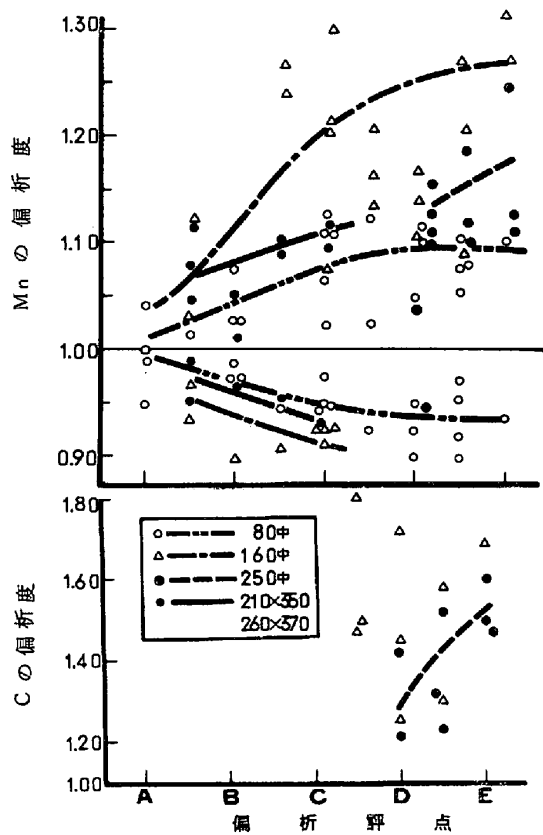


図3. 鉄片中心軸附近のC, Mnのセミミクロ偏析度

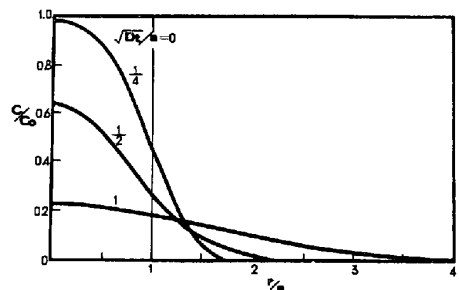


図4. シリンダーモデルによる拡散状況  
(The Mathematics of Diffusions)

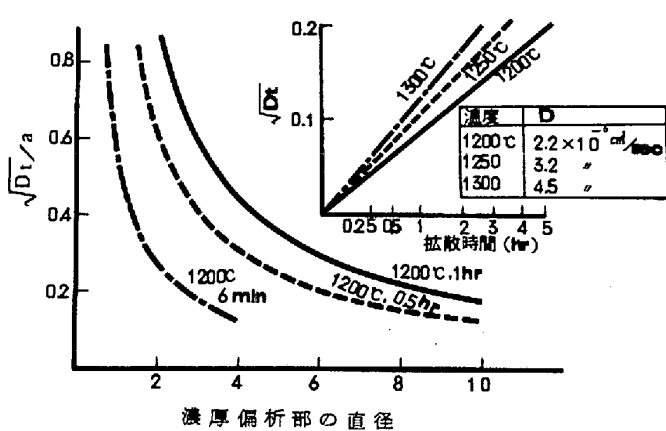


図 5. 偏析部の直径及び拡散時間と  $\sqrt{Dt/a}$  との関係

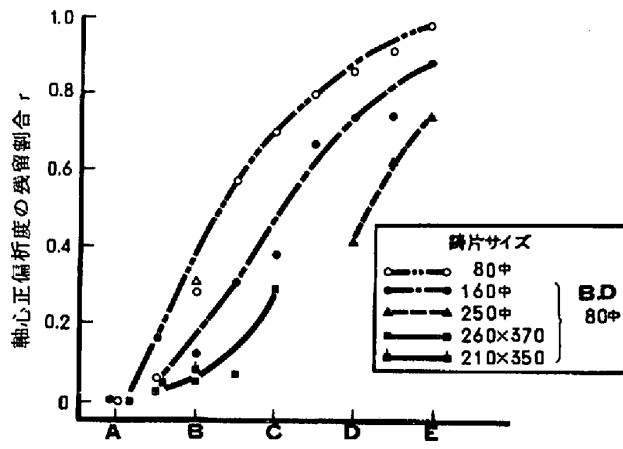


図 6. 80 mm ピレットの 1200°C × 1 hr. 加熱による軸心 C 偏析の減少状況（計算値）

関係及び濃厚偏析巾  $2a$  と  $\sqrt{Dt/a}$  との関係は、図 5 の如くになる。いま  $80\phi$  以上の断面のピレットは  $80\phi$  にブレークダウンしたのち加熱炉で  $1200^\circ\text{C} \times 1\text{ hr}$  加熱する場合、ブレークダウンに伴う濃厚偏析幅の減少率は辺長の減少率に等しいと仮定すると、図 2、図 4 及び図 5 より、加熱後の  $C/C_0 = S$  が算出される。

加熱後の濃厚偏析部中心の正偏析度の残留割合  $S$  と鋳片の中心偏析評点との関係は、鋳片サイズ別に図 6 の如く算出される。これより、正偏析度の残留割合を 0.5 以下にするためには、 $80\phi$  鋳片では鋳片中心偏析評点を B ランク以下、 $160\phi$  では C ランク、 $250\phi$  では D ランクにする必要があるが、扁平大断面ブルームでは最も評点の悪い C ランクでも残留割合が 0.3 程度にすぎない。このように加熱炉中ににおける C 中心偏析の拡散消失の点でも、鋳片断面サイズを大きくして 2 heat 工程を採用する方が有利であり、特に扁平化の効果が著しいことが明らかである。なお、Mn の拡散係数は、 $1200^\circ\text{C}$  で  $10^{-9} \text{ cm}^2/\text{sec}$  のオーダーであり、加熱による拡散消失は期待できない。